

**ДИНАМИКА УСТАНОВЛЕНИЯ  
ГАЗОВОЙ ТЕМПЕРАТУРЫ  
КОЛЕБАТЕЛЬНО-ВОЗБУЖДЕННОГО ОЗОНА**

*B. Я. Панченко, И. М. Сизова, А. П. Сухоруков  
(Москва)*

**1. Введение.** Процесс установления газовой температуры в колебательно-возбужденном газе носит достаточно сложный характер. Это связано в первую очередь (если отвлечься от макроскопических процессов переноса) с тем обстоятельством, что все релаксационные процессы ( $V - V$ ,  $V - V'$ ,  $R - T$ ,  $V - T$  и т. д.) являются в реальном газе перезонансными процессами. Вследствие этого установление квазиравновесия по любой внутренней степени свободы может сопровождаться изменением газовой температуры как в положительную, так и в отрицательную сторону.

Исследование динамики установления газовой температуры (термализации) в неравновесных системах представляет интерес для изучения распространения излучения, задач лазерной фотохимии и как независимый метод определения характерных релаксационных времен.

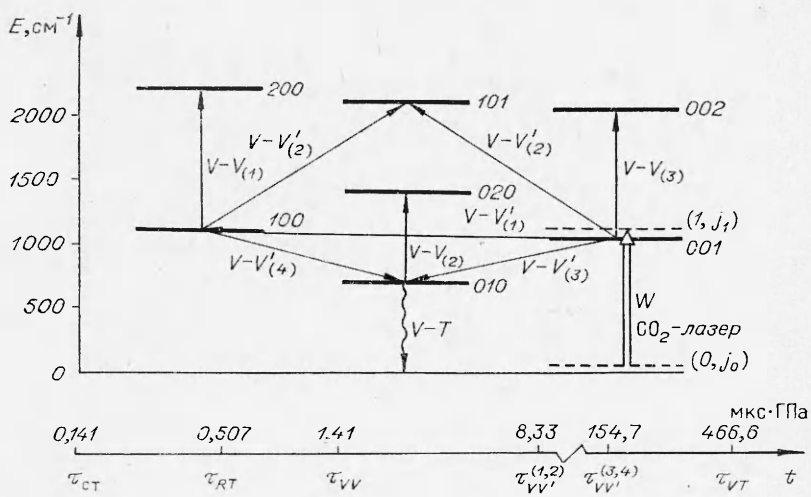
К настоящему времени решению подобных задач уделяется достаточно большое внимание [1—6]. Например, экспериментально и теоретически подробно изучено охлаждение газов, содержащих  $\text{CO}_2$ , излучением  $\text{CO}_2$ -лазера [1—3]. При анализе этого процесса была установлена доминирующая роль процессов колебательно-поступательного ( $V - T$ ) и межмолекулярного колебательно-колебательного ( $V - V'$ ) энергообменов. В работе [5] была теоретически предсказана возможность кинетического охлаждения в процессе перезонансного вращательно-поступательного ( $R - T$ ) обмена в молекулярном газе, поглощающем лазерное излучение в  $P$ -ветви колебательного перехода. Экспериментально этот эффект обнаружен авторами работы [6].

В данной работе впервые проведено детальное теоретическое исследование процесса установления газовой температуры в молекулярном  $\text{O}_3$ -газе, резонансно возбуждаемом лазерным ИК-излучением. Интерес к изучению молекулы озона связан с той важной ролью, которую он играет в физико-химических процессах атмосферы. В работе установлено, что процесс формирования газовой температуры колебательно-возбужденного озона носит немонотонный во времени характер и для его описания необходимо принимать во внимание как перезонансные  $R - T$ ,  $V - V$ ,  $V - V'$  и  $V - T$ -процессы, так и параметры лазерного импульса (интенсивность и форма импульса, частота и ширина линий излучения).

**2. Теоретическая модель.** Для описания процесса термализации возбужденного молекулярного  $\text{O}_3$ -газа была использована следующая модель.

1. Основное электронное состояние молекулы  $\text{O}_3$  моделировалось набором колебательных уровней, схема которых [7] дана на фиг. 1. При этом учитывалась реальная вращательная структура колебательного перехода  $\text{O}_3(000) \rightarrow \text{O}_3(001)$  моды  $v_3$ , ответственного за поглощение ИК-излучения накачки в области 9,6 мкм [8].

2. Считалось, что возбуждение озона осуществляется излучением  $\text{CO}_2$ -лазера в полосе 9,6 мкм, где озон обладает значительным коэффициентом поглощения  $\sim 10^{-5} - 10^{-4}$  Па $^{-1}$  см $^{-1}$  [9, 10]. Вращательная структура спектра поглощения озона на колебательном переходе  $\text{O}_3(000) \rightarrow \text{O}_3(001)$  показана на фиг. 2. Точками отмечены экспериментальные данные, взятые из измерений [8]. Цифры у кривых указывают величину  $K_{-1}$ -перехода. На графике ясно видны  $P$ -,  $Q$ - и  $R$ -ветви перехода. Структура ветвей близка к структуре полосы симметричного волчка, поскольку молекула озона является слегка асимметричным волчком с параметром асимметрии основного состояния  $\kappa = -0,968$  [8]. Внизу показаны результаты измерений по сечениям поглощения озона для разных линий ( $P(8) - P(40)$ ) полосы 9,6 мкм  $\text{CO}_2$ -лазера [9, 10]. Следует подчеркнуть, что, во-первых, в зависимости от лазерного перехода (частоты) может в основном накачиваться

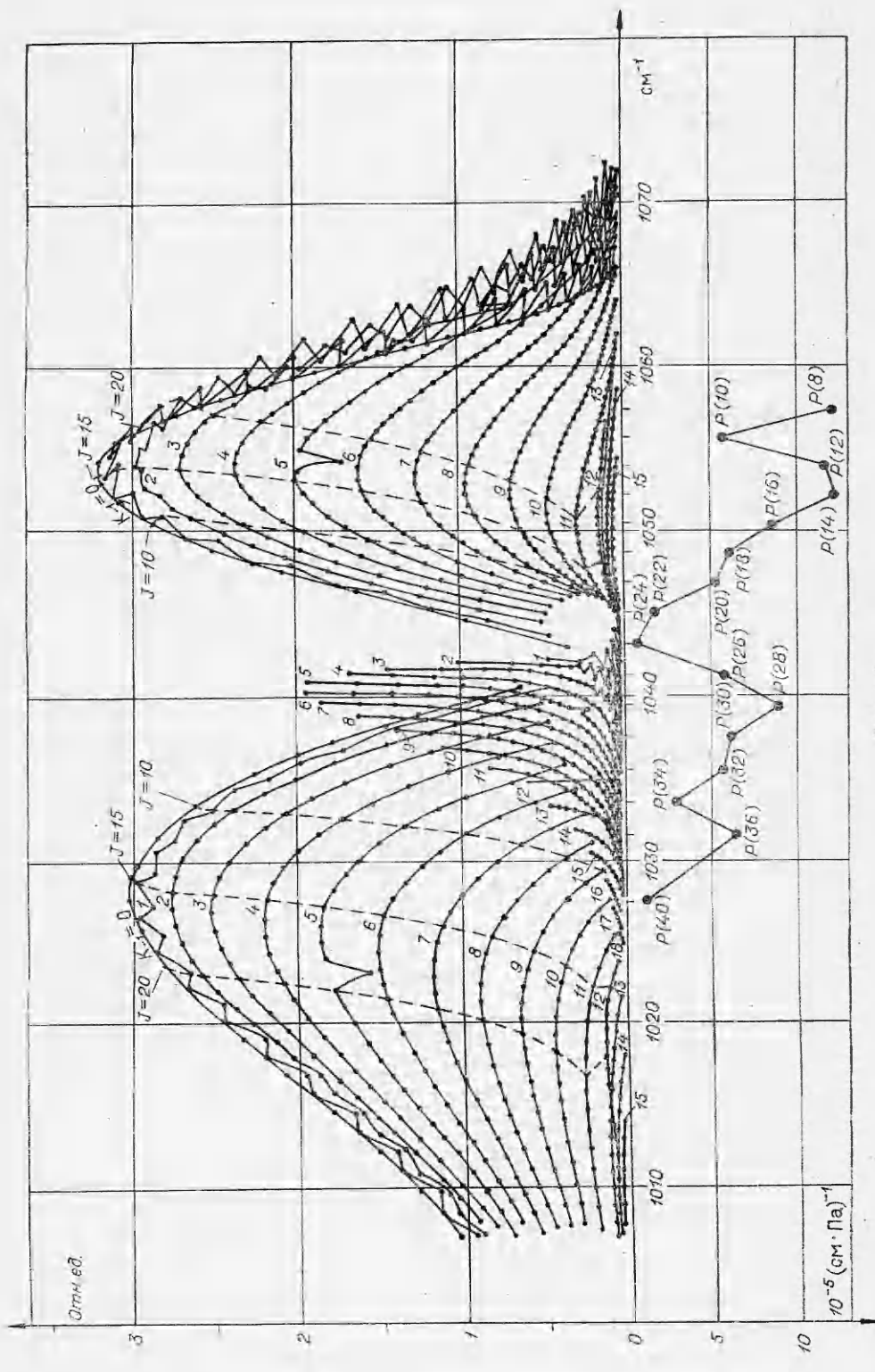


Ф и г. 1

*P*-, *Q*- или *R*-ветвь перехода (000—001) озона и, во-вторых, в резонанс с линией CO<sub>2</sub>-лазера реально попадает несколько вращательных подуровней основного колебательного состояния озона (на фиг. 1 условно показано штриховыми линиями подуровней). Расчеты, проведенные в работе [9], и сравнение с экспериментом показали, что учет озоновых линий, отстоящих более чем на 0,15 см<sup>-1</sup> от линии CO<sub>2</sub>-лазера, не вносит заметных изменений (в пределах ошибки измерений) в спектр поглощения озона на линиях лазера. Это приводит к тому, что фактически в поглощении лазерного излучения участвуют не более 5—6 вращательных подуровней состояния 000 (а для переходов, используемых нами в расчетах, 1—2 подуровня). Поэтому, если не принимать специальных мер для уширения линий лазерного излучения (реальная ширина лазерной линии  $\sim 10^{-2}$ — $5 \cdot 10^{-3}$  см<sup>-1</sup>), в поглощении излучения накачки будет участвовать  $\sim 10^{-2}$ — $10^{-3}$  молекул основного состояния и при интенсивностях лазерного излучения  $\sim 100$  кВт/см<sup>2</sup>—1 МВт/см<sup>2</sup> переход (000—001) насыщается. Именно этот факт является причиной того, что (как будет видно ниже) на характерных временах релаксационных процессов изменения температуры газа малы — в пределах долей градуса.

3. Для описания динамики временного хода газовой температуры вращательно-колебательно возбужденного озона учитывались процессы *R*—*T*-релаксации колебательных состояний O<sub>3</sub>(000) и O<sub>3</sub>(001), а также процессы *V*—*V*-, *V*—*V'*- и *V*—*T*-релаксации, указанные стрелками на фиг. 1, где показаны также использованные в расчетах значения характерных времен процессов, которые были экспериментально измерены в работах [11]. Время *R*—*T*-процесса для озона, приведенное на фиг. 1, оценено по формуле  $\tau_{RT} = 3,6 \tau_{ct}$ , применяемой для молекулы кислорода O<sub>2</sub> [12],  $\tau_{ct}$  для O<sub>3</sub> взято из работ [11].

Качественный анализ описанной выше модели показывает, что в молекуле озона на временах порядка времен *R*—*T*-, *V*—*V*- и *V*—*V'*-релаксаций наблюдается конкуренция между процессами, приводящими к охлаждению и нагреванию газовой температуры. Возможность кинетического охлаждения газа обусловлена *R*—*T*-процессами [5] уровней 000 и 001 в *P*-ветви (вращательное охлаждение) и эндотермическим *V*—*V'*<sub>(1)</sub>-процессом между уровнями 001 и 100, поскольку этот *V*—*V'*-процесс является самым быстрым межмодовым процессом в молекуле озона (колебательное



Фиг. 2

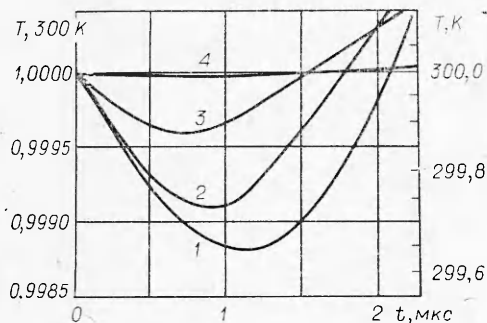
охлаждение). С описанными процессами конкурируют быстрые  $V-V$ - и более медленные  $V-V'$ -процессы, идущие с выделением тепла. На больших временах ( $t > \tau_{VV'}^{(3-4)} \gg \tau_{VV'}^{(1)}$ ) основная доля возбужденных молекул переходит на нижний колебательный уровень 010, откуда медленно релаксирует на основной уровень 000 ( $V-T$ -процесс) с выделением значительного тепла, что приводит к равномерному нагреву газа — самый медленный процесс в системе (см. фиг. 1).

Для количественного описания приведенной схемы была использована замкнутая система кинетических уравнений для заселенностей колебательных уровней молекулы  $O_3$ , вращательных подуровней, взаимодействующих с излучением, и газовой температуры, согласно п. 1—3 описанной выше модели. Вращательная релаксация рассматривалась в рамках модели «сильных столкновений» [5]. Поскольку исследуемые экстремумы газовой температуры наблюдаются на относительно коротком временном интервале ( $t \leq \tau_{VV'}$ ), в проведенных расчетах не учитывалась диссоциация озона в поле ИК-излучения. Подробные теоретические исследования [13] показывают, что в рассматриваемых экспериментальных условиях (короткий импульс излучения, интенсивности  $\leq 10^6$  Вт/см<sup>2</sup>, возбуждение лишь первого уровня ИК-активной моды озона, малые доли частиц, участвующих в поглощении излучения) за время  $t \leq \tau_{VV'}$  распадается не более нескольких процентов озона. Также из-за малых изменений температуры пренебрегалось зависимостью (типа Ландау — Теллера) скоростей релаксационных процессов от газовой температуры. Кроме того, нами не учитывалось возможное возбуждение излучением накачки вращательных подуровней моды  $v_1$  из-за сильного кориолисова взаимодействия с некоторыми вращательными подуровнями поглощающего излучение перехода  $v_3$ , так как для использованных при расчетах линий  $CO_2$ -лазера коэффициенты связи поглощающих вращательных переходов (001) с переходами (100) малы (менее 1%) [8]. Прямыми возбуждением моды  $v_1$  можно пренебречь из-за очень малого коэффициента поглощения этой полосы по сравнению с полосой  $v_3$ .

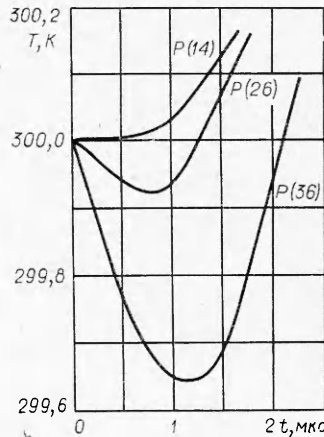
**3. Анализ кинетических уравнений.** Система кинетических уравнений (5.1)—(5.10), описывающая приведенную выше модель, дана ниже в приложении. Она включает в себя кинетические уравнения для заселенностей колебательных уровней молекулы озона (см. фиг. 1) и вращательных подуровней состояний (000) и (001), участвующих в поглощении накачки, а также уравнение, описывающее изменение газовой температуры  $T$ . Эта система состоит из довольно громоздких нелинейных уравнений, поэтому аналитический анализ ее затруднителен. Решения получались численными методами. Однако в режиме сильной оптической накачки ( $W \gg 1/\tau_{RT}$ ) на коротких временах взаимодействия ( $t \simeq 1/W \ll \tau_{RT}$ ) можно сделать некоторые аналитические оценки характера изменения газовой температуры  $T$  в зависимости от «параметров» системы ( $\tau_{RT}$ ,  $\tau_{VV}$  и  $\tau_{VV'}$ ) и длины волны излучения накачки (попадающего в  $P$ -,  $Q$ - или  $R$ -ветви перехода (000—001)). В этом случае для функции  $f$ , описывающей скорость изменения температуры  $dT/dt$ , из уравнения (5.10) получаем

$$(3.4) \quad f(0) = f|_{t \approx \frac{1}{W}} \sim \left[ \frac{1}{\tau_{RT}} \sum_i (E_{j_1}^{(i)} - E_{j_0}^{(i)}) + \frac{2\Delta E_{VV(3)}}{\tau_{VV}} \sum_i q_{j_0}^{(i)} + \right. \\ \left. + \left( \frac{\Delta E_{VV'(1)}}{\tau_{VV'}^{(1)}} + \frac{\Delta E_{VV'(3)}}{\tau_{VV'}^{(3)}} \right) \right].$$

Из уравнения (3.4) видно, что знак функции  $f(0)$  существенно зависит от



Фиг. 3



Фиг. 4

соотношения характерных времен релаксации энергии в системе ( $\tau$ ) и дефектов энергии релаксационных процессов ( $\Delta E$ ). Подстановка числовых данных, приведенных на фиг. 1, дает

$$(3.2) \quad f(0) \sim p \left( 2,63 \sum_i (E_{j_1}^{(i)} - E_{j_0}^{(i)}) / 300K + 0,12 \sum_i q_{j_0}^{(i)} - 0,03 \right),$$

где  $p$  — давление.

Если излучение лазера попадает в  $P$ -ветвь перехода (000—001), то, учитывая, что для равновесной доли молекул основного состояния, участвующих в поглощении излучения, и разности энергий вращательных подуровней основного и возбужденного состояний, можно сделать оценки  $\sum_i q_{j_0}^{(i)} \simeq 10^{-2} - 10^{-3}$  и  $E_{j_1}^{(i)} - E_{j_0}^{(i)} \simeq -10 \text{ см}^{-1}$  [8], что соответствует  $\sum_{i=1}^r \frac{E_{j_1}^{(i)} - E_{j_0}^{(i)}}{300K} \simeq -0,05r$ , где  $r$  — число вращательных переходов, участвующих в поглощении, из уравнения (3.2) получаем

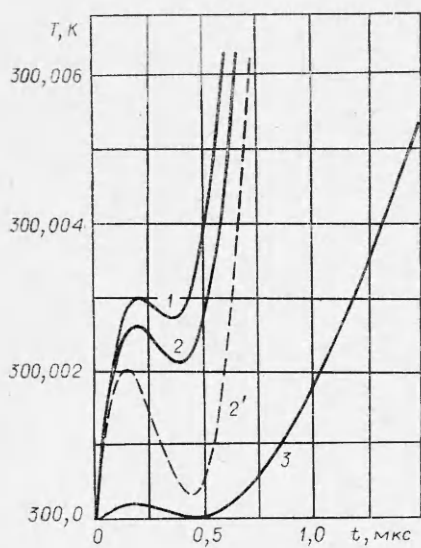
$$f(0) \sim p(-0,13r - 0,03) < 0,$$

т. е. газ охлаждается как за счет  $R-T$ , так и за счет  $V-V'$ -процессов. Другие процессы  $V-V'$ , а также  $V-T$ -процесс идут с выделением тепла, что лимитирует время существования кинетического охлаждения, и при  $t > \tau_{VV'}^{(1)}$ , газ нагревается. Результаты численного счета для накачки в  $P$ -ветвь, приведенные на фиг. 3, подтверждают качественный анализ. Расчет сделан для лазерной линии  $P(36)$  (в поглощении участвуют два вращательных подуровня), давление озона 1333 Па, форма лазерного импульса  $I(t) = I_0 \exp(-t/300 \text{ нс})$ . Кривые 1—4 на фиг. 3 соответствуют интенсивностям  $10^6$ ,  $10^5$ ,  $10^4$  и  $10^2 \text{ Вт/см}^2$ . Видно, что максимум охлаждения достигается за время  $\sim(1,5-2) \tau_{VV'}^{(1)}$ , а время существования охлаждения  $\sim 3\tau_{VV'}^{(1)}$ . С понижением интенсивности накачки ( $1/W \simeq \tau_{RT}$  и  $1/W \gg \tau_{RT}$ ) качественный ход зависимости  $T(t)$  сохраняется, а глубина охлаждения уменьшается. При увеличении  $I_0$  ( $I_0 \geq 1 \text{ МВт/см}^2$ ) динамика  $T(t)$  практически не меняется, так как за время импульса система достигает насыщения по поглощению.

Аналогичный анализ формулы (3.2) для случаев накачки  $Q$ - и  $R$ -ветвей моды  $v_3$  озона дает следующие оценки:

$$f(0) \sim p(0,13r - 0,03) > 0 \text{ (R-ветвь)},$$

$$f(0) \sim p \left( 0,12 \sum_i q_{j_0}^{(i)} - 0,03 \right) \leq 0 \text{ (Q-ветвь)}.$$



Фиг. 5

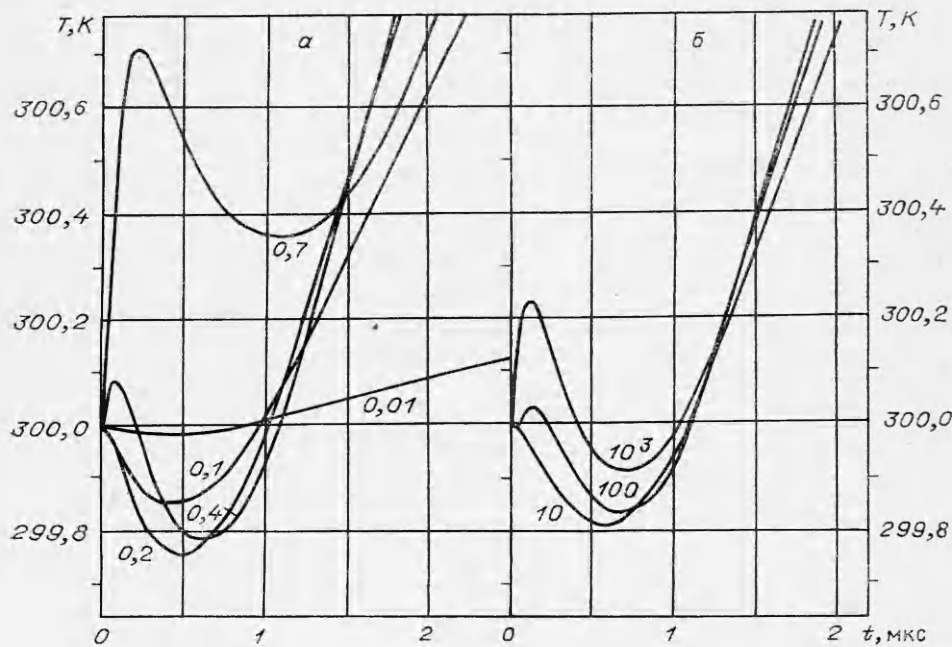
Знак  $f(0)$  для  $Q$ -ветви существенно зависит от величины  $q = \sum_i q_{j_0}^{(i)}$ . Более

точный анализ системы уравнений для накачки в  $Q$ - и  $R$ -ветвях будет дан ниже. На фиг. 4 приведены рассчитанные зависимости  $T(t)$  для случаев накачки в  $P$ -,  $Q$ - и  $R$ -ветви озона (что соответствует лазерным линиям генерации на переходах  $P(36)$ ,  $P(26)$  и  $P(14)$ ). Форма импульса и давление газа те же, что и на фиг. 3 ( $I_0 = 1 \text{ МВт}/\text{см}^2 (1/W \ll \tau_{RT})$ ) и система во всех трех случаях находится в насыщении по поглощению). Видно, что в согласии с формулой (3.2) для  $R$ -ветви кинетического охлаждения не наблюдается, а для  $Q$ -ветви глубина и длительность охлаждения значительно ниже, чем для  $P$ -ветви.

Рассмотрим подробнее случай накачки  $R$ -ветви. Здесь  $R-T$ -процессы

ведут к увеличению энергии в поступательных степенях свободы. Поэтому за время порядка  $\tau_{RT}$  газ нагревается,  $V-V$ -процессы также увеличивают газовую температуру. Но на временах  $\sim \tau_{VV}^{(1)} \approx \tau_{VV}$  ( $\tau_{VV}^{(1)} \gg \tau_{RT}$ ) с  $V-V$ - и  $R-T$ -процессами конкурирует эндотермический процесс межмолекулярного обмена  $V - V'_{(1)}$ , который в принципе может привести если не к общему охлаждению газа, то к «провалу» характеристики  $T(t)$  на характерном временном интервале  $\tau_{RT} \ll t \leq \tau_{VV}^{(1)}$ . Именно такая зависимость  $T(t)$  получается из численного решения системы уравнений (5.1)–(5.10) для  $R$ -ветви (фиг. 5). Для расчетов использован лазерный переход  $P(14)$ . Форма импульса и давление газа те же, что и на фиг. 3. Кривые 1–3 соответствуют интенсивностям  $10^6$ ,  $5 \cdot 10^3$  и  $50 \text{ Вт}/\text{см}^2$ . Видно, что «провал» наблюдается для любой интенсивности накачки (от  $50 \text{ Вт}/\text{см}^2$  до режима насыщения  $I_{0n} \approx 1 \text{ МВт}/\text{см}^2$ ). Глубина «провала» очень незначительна ( $\Delta T \leq 10^{-3} \text{ К}$ ), что представляет большие трудности для его экспериментального наблюдения. «Провал» образуется вследствие конкуренции  $R-T$ - и  $V - V'_{(1)}$ -процессов, а его глубина и длительность сильно зависят от  $V-V$ -процессов. Это можно видеть из сравнения кривой 2 на фиг. 5 с кривой 2', полученной из численного решения системы (5.1)–(5.6), (5.9) при тех же данных, что и кривая 2, только без учета  $V-V$ -процессов и процесса  $V - V'_{(2)}$  (см. фиг. 1). Видно, что  $V-V$ -процессы в несколько раз уменьшают глубину «провала» и заметно укорачивают его длительность, «сближая» точки экстремумов функции  $T(t)$ .

Таким образом, при накачке в  $R$ -ветвь конкуренция вращательно-поступательных и колебательно-колебательных процессов приводит к характерному «провалу» зависимости газовой температуры от времени. Подобная временная зависимость температуры может наблюдаться и в  $Q$ -ветви, но уже не вследствие конкуренции вращательных и колебательных процессов, а вследствие конкуренции различных колебательно-колебательных обменов энергией, несущих вклады разных знаков в изменение температуры, а именно  $V-V$ - и  $V - V'_{(1)}$ -процессов. Из анализа формулы (3.2) видно, что  $V-V$ -процесс может конкурировать с  $V - V'_{(1)}$ -процессом в начальный момент времени в том случае, если доля молекул, участвующих в поглощении лазерного излучения, относительно велика  $q =$



Ф и г. 6

$= \sum_i q_{j_0}^{(i)} \geqslant 0,25$ . Обратимся к результатам численного решения уравнений (фиг. 6).

При поглощении лазерного излучения в центре  $Q$ -ветви  $E_{j_0}^{(i)} \simeq E_{j_1}^{(i)}$  и вращательно-поступательные процессы вносят малый энергетический вклад в динамику температуры. Это обстоятельство позволяет пренебречь вкладом энергии в поступательные степени свободы за счет процессов  $R-T$ -релаксации. Следовательно, можно не рассматривать уравнения (5.1), (5.2), а вместо слагаемых накачки в уравнениях (5.3), (5.6) использовать слагаемые вида

$$(3.3) \quad \pm W(N_{000} - QN_{001}),$$

где  $Q = (1 - q/2)/(N_{001}(0)/N_{000}(0) + q/2)$ . Множитель  $Q$  в (3.3) учитывает насыщение поглощающего перехода при участии в поглощении  $q$ -й доли молекул основного состояния. Результаты решения системы уравнений (5.3)–(5.9) и (3.3) приведены на фиг. 6, а, б. Форма импульса и давления те же, что и на фиг. 3. Фиг. 6, а показывает динамику газовой температуры в режиме насыщения перехода (000–001) при  $I_0 = 1$  МВт/см<sup>2</sup>. Цифры у кривых указывают значение параметра  $q$ . Вполне в согласии с аналитической оценкой по формуле (3.2) при  $q < 0,25$  в начальные моменты времени наблюдается кинетическое охлаждение с экстремумом вблизи  $t \simeq \tau_{VV}^{(1)}$ , которое при  $t \geqslant 2\tau_{VV}^{(1)}$  сменяется равномерным нагревом газа. При  $q \geqslant 0,25$  вначале газ греется вследствие  $V-V$ -процессов, затем виден характерный «провал» температуры, обусловленный  $V-V_{(1)}$ -обменом, и при  $t > \tau_{VV}^{(1)}$  опять нагрев. Причем с ростом  $q(q \rightarrow 1)$  время достижения максимума и минимума функции  $T(t)$  увеличивается: максимум достигается при  $t \rightarrow \tau_{VV}^{(1)}$  (процессы  $V-V$  и  $V-V_{(1)}$  уравновешивают друг друга), а минимум — при  $t \simeq (2-3)\tau_{VV}^{(1)}$ . Длительность «провала» становится много больше  $\tau_{VV}^{(1)}$ , и он наблюдается на фоне заметного первоначального нагрева. Если интенсивность лазерного излучения меньше интенсивности

насыщения, то зависимость функции  $T(t)$  от величины  $q$  носит более сложный характер. При малых  $I_0$  ( $I_0 \ll I_{0n}$ ) наблюдается только охлаждение, глубина которого увеличивается с ростом  $q$ . При  $I_0$  вблизи насыщения изменение хода кривых  $T(t)$  с ростом  $q$  аналогично случаю насыщения с той разницей, что  $V-V$ -процесс играет основную роль не в начальный момент времени, а при  $t \simeq \tau_{VV}$ . Поэтому, если  $q$  больше некоторого  $q_0$ , первоначальное охлаждение газа при  $t \simeq \tau_{VV}$  сменяется нагревом, затем процесс  $V - V'$  приводит вновь к охлаждению на интервале  $\tau_{VV'}^{(1)} < t \leq 2\tau_{VV}^{(1)}$ , и при  $t \geq 2\tau_{VV}^{(1)}$  газ опять нагревается. Таким образом, кривая  $T(t)$  при  $t \leq$  нескольких  $\tau_{VV}^{(1)}$  имеет два характерных минимума и один максимум. На фиг. 6, б показаны разные качественные зависимости  $T(t)$  при изменении интенсивности накачки для значения  $q = 0,5$ . Цифры у кривых указывают величину  $I_0$  (в  $\text{kBt}/\text{cm}^2$ ). Видно, что с ростом  $I_0$  на кривой  $T(t)$  при  $t \simeq \tau_{VV}$  появляется максимум, обусловленный  $V-V$ -процессами, который «движется» к началу лазерного импульса и при  $I_0 \geq I_{0n}$  определяет нагрев газа с самого начала импульса. Из фиг. 6 ясно, что все характерные особенности  $T(t)$  могут наблюдаться лишь при больших значениях  $q$ , т. е. при достаточно широкополосной накачке  $Q$ -ветви перехода  $v_3$ . Это можно понять из следующих простых соображений: энергетические вклады процессов  $V-V$  и  $V - V'$  близки по величине (но противоположны по знаку), в то время как скорость  $V-V$ -процесса пропорциональна квадрату, а  $V - V'$ -процесса — первой степени доли частиц, находящихся на уровне (001). Поэтому  $V-V$ -процесс может успешно конкурировать с  $V - V'$ -процессом лишь при условии перехода значительной доли частиц с уровня (000) на уровень (001), т. е. при больших  $q$ .

**4. Выводы.** Проведенный теоретический анализ показал, что при резонансной накачке молекул озона ИК-излучением динамика установления газовой температуры сложным образом зависит от параметров излучения накачки (интенсивности, формы импульса, ширины линий излучения, частоты). Экстремумы функции  $T(t)$  связаны с временами  $R-T$ ,  $V-V$ ,  $V-V'$  и  $V-T$ -релаксации энергии в молекуле озона. Поэтому экспериментальное исследование динамики температуры озона может дать значительную информацию как об относительной роли различных процессов обмена энергии между колебательными, вращательными и поступательными степенями свободы в формировании газовой температуры, так и о соотношении характерных времен этих процессов\*. Основные экспериментальные трудности, по-видимому, заключаются в малых временах процессов и относительно небольших изменениях температуры на этих временах, обусловленных тем, что для лазерных приборов с шириной линий генерации  $\sim 10^{-2} \text{ см}^{-1}$  в поглощении излучения накачки может реально участвовать лишь малая доля молекул озона ( $\sim 10^{-3}-10^{-2}$ ).

Примененный впервые в данной работе метод исследования формирования газовой температуры в колебательно-возбужденном газе, учитывающий процессы вращательно-поступательно-колебательной релаксации, может быть с успехом использован для анализа других молекул. Установленные закономерности динамики газовой температуры в колебательно-возбужденном озоне, видимо, носят достаточно общий характер и могут проявляться в других молекулярных газах, резонансно-возбуждаемых ИК-излучением на нижние колебательные уровни.

\* Варьированием ряда релаксационных констант ( $\tau_{RT}$ ,  $\tau_{VV}^{(1)}$ , и др.) в 1,5–2 раза вблизи использованных в работе значений в модельных расчетах было показано, что качественный характер динамики газовой температуры не критичен к конкретным значениям этих констант в указанных пределах.

**5. Приложение.** При анализе термализации колебательно-возбужденного  $O_3$ -газа использовалась следующая система уравнений:

$$(5.1) \quad \frac{dn_{j_0}^{(i)}}{dt} = -J_i + \frac{1}{\tau_{RT}^{(i)}} (N_{000} q_{j_0}^{(i)} - n_{j_0}^{(i)});$$

$$(5.2) \quad \frac{dn_{j_1}^{(i)}}{dt} = +J_i + \frac{i}{\tau_{RT}^{(i)}} (N_{001} q_{j_1}^{(i)} - n_{j_1}^{(i)}) \quad (i = 1, 2, \dots);$$

$$(5.3) \quad \frac{dN_{000}}{dt} = - \sum_i J_i + F_{VT}(N_{010}; N_{000}) + 2 \sum_{k=1}^3 F_{VV_{(k)}} + \\ + F_{VV'_{(2)}}(N_{001}, N_{100}; N_{000}, N_{101}) + \sum A_{klm} N_{klm};$$

$$(5.4) \quad \frac{dN_{100}}{dt} = -4F_{VV_{(1)}}(N_{100}, N_{100}; N_{000}, N_{200}) + \\ + F_{VV'_{(1)}}(N_{000}, N_{001}; N_{000}, N_{100}) - F_{VV'_{(2)}}(N_{001}, N_{100}; N_{000}, N_{101}) - \\ - F_{VV'_{(4)}}(N_{000}, N_{100}, N_{000}, N_{010}) - A_{100} N_{100} - N_{100}/\tau_d;$$

$$(5.5) \quad \frac{dN_{010}}{dt} = -4F_{VV_{(2)}}(N_{010}, N_{010}; N_{000}, N_{020}) + \\ + F_{VV'_{(3)}}(N_{000}, N_{001}; N_{000}, N_{010}) + F_{VV'_{(4)}}(N_{000}, N_{100}, N_{000}, N_{010}) - \\ - F_{VT}(N_{010}; N_{000}) - A_{010} N_{010} - N_{010}/\tau_d;$$

$$(5.6) \quad \frac{dN_{001}}{dt} = \sum_i J_i - 4F_{VV_{(3)}}(N_{001}, N_{001}; N_{000}, N_{002}) - \\ - F_{VV'_{(1)}}(N_{000}, N_{001}; N_{000}, N_{100}) - F_{VV'_{(2)}}(N_{001}, N_{100}; N_{000}, N_{101}) - \\ - F_{VV'_{(3)}}(N_{000}, N_{001}; N_{000}, N_{010}) - A_{001} N_{001} - N_{001}/\tau_d;$$

$$(5.7) \quad \frac{dN_m}{dt} = 2F_{VV_{(m)}} - N_m (\tau_d^{-1} + A_m), \\ m = (200), (020), (002);$$

$$(5.8) \quad \frac{dN_{101}}{dt} = F_{VV'_{(2)}}(N_{001}, N_{100}; N_{000}, N_{101}) - N_{101} (\tau_d^{-1} + A_{101}),$$

где  $N_{klm}$  — заселенность колебательного уровня ( $klm$ );  $N$  — общая концентрация молекул;  $n_{j_0}^{(i)}, n_{j_1}^{(i)}$  — заселенности вращательных подуровней  $j_0^{(i)}$  и  $j_1^{(i)}$  уровней (000) и (001), участвующих в поглощении излучения. Слагаемые вида  $J_i$  описывают оптическую накачку с учетом насыщения поглощающего перехода:  $J_i = W_i (n_{j_0}^{(i)} - (g_{j_0}^{(i)}/g_{j_1}^{(i)}) n_{j_1}^{(i)})$ , где  $W$  — вероятность оптической накачки  $W = \sum_i W_i = \sum_i \frac{\sigma_{j_0 j_1}^{(i)} I}{h\omega_{j_0 j_1}^{(i)}}$ ;  $i$  — число вращательных подуровней основного состояния, взаимодействующих с излучением;  $\sigma$  и  $\omega$  — сечения поглощения ( $\text{см}^2$ ) и частоты соответствующих линий колебательно-вращательной полосы  $v_3$ ;  $W_i$  — вероятность оптической накачки  $i$ -й полосы  $v^3$  (пропорциональная интенсивности перехода (см. фиг. 2));  $g_{j_0}^{(i)}, g_{j_1}^{(i)}$  — статвеса вращательных подуровней;  $q_{j_0}^{(i)}, q_{j_1}^{(i)} = g_j^{(i)} \exp(-E_j^{(i)}/T)/Q_{\text{вр}}(T)$  — равновесные доли молекул на вращательных подуровнях  $i$  ( $Q_{\text{вр}_0}, Q_{\text{вр}_1}$  — вращательные статсуммы);  $E_{j_0}^{(i)}, E_{j_1}^{(i)}, E_{klm}$  — соответственно

энергии вращательных подуровней и колебательных уровней. Через слагаемые вида  $F_{VV(k)}(\dots)$ ,  $F_{VV'(k)}(\dots)$  и  $F_{VT}(\dots)$  обозначены скорости изменения заселенности соответствующих колебательных уровней, обусловленные  $V-V$ -,  $V-V'$ - и  $V-T$ -процессами, показанными стрелками на фиг. 1. Например,  $F_{VV'(1)}(N_{000}, N_{001}; N_{000}, N_{100}) = \frac{1}{\tau_{VV'}^{(1)}} [N_{000} \times N_{001} - N_{000}N_{100} \exp(-\Delta E_{VV'}^{(1)}/T)]$ , где  $\tau_{VV}$ ,  $\tau_{VV'}$  и  $\tau_{VT}$  — характерные времена соответствующих процессов;  $\Delta E_{VV,VV',VT}$  — дефекты энергии процессов;  $\tau_{RT}$  — время  $R-T$ -релаксации;  $\tau_d$  — характерное время диффузии колебательно-возбужденных молекул из области взаимодействия с излучением;  $A_{klm}$  — вероятности спонтанных радиационных колебательных переходов. Поскольку  $\tau_{RT}$  много меньше всех остальных характерных времен релаксаций, в уравнениях (5.1), (5.2) не учтены столкновительные и спонтанные радиационные процессы. Для расчетов в соответствии с [11] принималось, что  $\tau_{VV}^{(1)} = \tau_{VV}^{(2)} = \tau_{VV}^{(3)} = \tau_{VV}$ ,  $\tau_{VV'}^{(1)} = \tau_{VV'}^{(2)}$ ,  $\tau_{VV'}^{(3)} = \tau_{VV'}$ , а также считалось, что  $\tau_{RT}^{(0)} = \tau_{RT}^{(1)} = \tau_{RT}$ .

При анализе системы (5.1)–(5.8) в данной работе не рассматривались диффузионные и спонтанные радиационные процессы. Возможность пренебрежения диффузией зависит от поперечных размеров лазерного пучка и кюветы. Проведенные нами оценки показывают, что для обычных параметров пучка CO<sub>2</sub>-лазера ( $S \geq 0,1 \text{ см}^2$ ) и рассматриваемых давлений ( $p > 1 \text{ ГПа}$ ) характерные времена процессов диффузии и теплопереноса поперек пучка измеряются миллисекундами, что на 2–3 порядка больше времен  $V-V$ - и  $V-V'$ -процессов, и, следовательно, диффузионные процессы не могут играть заметной роли при  $t \leq \tau_{VV'}$ . Учет спонтанных радиационных переходов не влияет на анализ системы (5.1)–(5.8), так как, согласно известным экспериментальным данным, вероятности  $A_{klm}$  спонтанного радиационного распада нижних колебательных уровней озона очень малы ( $A_{klm} \ll \tau_{VV'}^{-1}$  при используемых давлениях) —  $A_{100} = 0,355 \text{ с}^{-1}$ ,  $A_{010} = 0,25 \text{ с}^{-1}$ ,  $A_{001} = 10,64 \text{ с}^{-1}$  [14]. При сделанных допущениях система уравнений (5.1)–(5.8) становится замкнутой (общее число частиц не меняется).

Изменение газовой температуры  $T$  в молекулярном газе описывается уравнением

$$(5.9) \quad \rho c_p \frac{dT}{dt} = f,$$

где  $f$  — поток энергии из колебательных и вращательных степеней свободы молекулы в поступательные степени, который, согласно системе (5.1)–(5.8), имеет вид

$$(5.10) \quad f = \sum_i \left[ \frac{\tau_{RT}^{(i)}}{\tau_{RT}^{(0)}} (n_{j_0}^{(i)} - N_{000} q_{j_0}^{(i)}) + \frac{\tau_{RT}^{(i)}}{\tau_{RT}^{(1)}} (n_{j_1}^{(i)} - N_{001} q_{j_1}^{(i)}) \right] +$$

$$+ \Delta E_{VT} F_{VT}(N_{010}; N_{000}) + 2 \sum_{k=1}^3 \Delta E_{VV(k)} F_{VV(k)} +$$

$$+ \Delta E_{VV'(1)} F_{VV'(1)}(N_{000}, N_{001}; N_{000}, N_{100}) +$$

$$+ \Delta E_{VV'(2)} F_{VV'(2)}(N_{001}, N_{100}; N_{000}, N_{101}) +$$

$$+ \Delta E_{VV'(3)} F_{VV'(3)}(N_{000}, N_{001}; N_{000}, N_{010}) +$$

$$+ \Delta E_{VV'(4)} F_{VV'(4)}(N_{000}, N_{100}; N_{000}, N_{010}).$$

В уравнении (5.9) в  $c_p$  учтены только поступательные и вращательные степени свободы.

Анализ замкнутой системы уравнений (5.1)–(5.10) позволяет исследовать процесс термализации озона при резонансном колебательном возбуждении ИК-излучением.

*Поступила 9 VI 1980*

#### ЛИТЕРАТУРА

1. Гордиец Б. Ф., Осипов А. И., Хохлов Р. В. Об охлаждении газа при прохождении мощного излучения CO<sub>2</sub>-лазера через атмосферу.— ЖТФ, 1974, т. 44, с. 1063.
2. Breig E. L. Limitation on the atmospheric thermal effects for high-power CO<sub>2</sub> laser beams.— J. Optic. Soc. Amer., 1972, vol. 62, p. 518; Aung H., Katayama M. Interferometric studies of transient cooling and heating of CO<sub>2</sub> induced by 10,6 μm laser pulse and vibration-translation relaxation.— Jap. J. Appl. Phys., 1975, vol. 14, N 1.
3. Гордиенко В. М., Горшков В. А. и др. Кинетическое охлаждение смеси газов CO<sub>2</sub>—N<sub>2</sub> излучением CO<sub>2</sub>-лазера.— ЖЭТФ, 1977, т. 73, с. 874; Ахманов С. А., Гордиенко В. М., Панченко В. Я. Термализация молекулярного газа при резонансном возбуждении лазерным излучением.— Изв. высш. учеб. заведений. Сер. Физика, 1977, № 11; Варакин В. Н., Гордиенко В. М., Панченко В. Я. Температурная зависимость эффекта кинетического охлаждения.— Квант. электроника, 1979, т. 6, № 4; Варгин А. Н., Гогохия В. В. и др. К модели кинетического охлаждения углекислого газа.— Квант. электроника, 1978, т. 5, № 6; Варакин В. Н., Панченко В. Я. К теории кинетического охлаждения смеси CO<sub>2</sub>—N<sub>2</sub> с высоким содержанием углекислого газа.— ПМТФ, 1979, № 5.
4. Жданок С. А., Напартович А. П., Старостин А. Н. Установление распределения двухатомных молекул по колебательным уровням.— ЖЭТФ, 1979, т. 76, № 1.
5. Гордиец Б. Ф., Панченко В. Я. Охлаждение молекулярных газов, стимулированное лазерным излучением.— Письма в ЖТФ, 1978, т. 4, № 23.
6. Гордиенко В. М., Михеенка А. В., Панченко В. Я. Охлаждение селективно возбуждаемого CD<sub>4</sub> газа в процессе колебательно-колебательной и вращательно-поступательной релаксации.— Письма в ЖТФ, 1979, т. 5, № 8.
7. Barbe A., Secroun C., Jouve P. Infrared spectra of <sup>16</sup>O<sub>3</sub> and <sup>18</sup>O<sub>3</sub>: Darling and Dennison resonance and anharmonic potential function of ozone.— J. Mol. Spectr., 1974, vol. 49, N 2.
8. Barbe A., Secroun C. et al. Infrared and microwave high-resolution spectrum of the ν<sub>3</sub> band of ozone.— J. Mol. Spectr., 1977, vol. 64, N 3.
9. Shewchun J., Garside B. K. et al. Pollution monitoring systems based on resonance absorption measurements of ozone with a «tunable» CO<sub>2</sub> laser: some criteria.— Appl. Opt., 1976, vol. 15, N 2.
10. Patty R. R., Russwurm G. M., McClenney W. A., Morgan D. R. CO<sub>2</sub> laser absorption coefficients for determining ambient levels of O<sub>3</sub>, NH<sub>3</sub> and C<sub>2</sub>H<sub>2</sub>.— Appl. Opt., 1974, vol. 13, N 12.
11. Rosen D. I., Cool T. A. Vibrational deactivation of O<sub>3</sub> molecules in gas mixtures.— J. Chem. Phys., 1973, vol. 59, N 11; J. Chem. Phys., 1975, vol. 62, N 2.
12. Кондратьев В. П., Никитин Е. Е. Кинетика и механизм газофазных реакций. М.: Наука, 1974.
13. Djidjoev M. S., Panchenko V. Ya., Sizova I. M., Sukhorukov A. P. Thermalization and dissociation dynamics of ozone excited by IR resonance radiation. — In: 2 nd Int. Conf. on Multiphoton Processes, Budapest, april 1980. Abstracts.
14. von Rosenberg C. W., Trainor D. W. Vibrational excitation of ozone formed by recombination.— J. Chem. Phys., 1974, vol. 61, N 6.